

## بررسی مولکولی ژن های (Alpha-cardiac actin) مشتق شده از کاردیومیوست های سلول های بنیادی جنینی و (FLK1/Vegfr-2/KDR)

اکرم سادات طباطبائی پناه<sup>۱\*</sup>، رضا اکبرزاده نجار<sup>۲</sup>، سید محمد حسین قادریان<sup>۳</sup>

<sup>۱</sup> استادیار، گروه زیست شناسی، دانشگاه آزاد اسلامی، واحد تهران شرق، تهران، ایران  
<sup>۲</sup> استادیار، گروه زنتیک، دانشکده پزشکی، دانشگاه علوم پزشکی و خدمات درمانی شهید بهشتی، تهران، ایران

### چکیده

**سابقه و هدف:** در طی جنین زایی ابتدائی، سیستم قلبی-عروقی یکی از اولین سیستم‌هایی است که تشکیل می‌شود. سلول‌های بنیادی جنینی انسان (hESC) مدلی را به وجود می‌آورد که می‌توان از طریق آن مراحل تکاملی این سیستم را بررسی نمود. زمانی که این سلول‌ها از لایه مغذی خود جدا می‌شوند، hESC‌ها اجسام جنینی<sup>۴</sup> (EB) را به وجود می‌آورند که پس از کشت، نواحی ای از سلول‌های ضربان دار در ۲۱/۵٪ از EB ایجاد می‌شوند.

**مواد و روش‌ها:** الگوی بیان ژن‌های اختصاصی کاردیومیوست‌ها به نام *Alpha-cardiac actin* و *FLK1* (Vegfr-2/KDR) در EB انسانی<sup>۳</sup> از طریق واکنش زنجیره‌ای پلیمراز-رونویسی معکوس (RT-PCR) مورد بررسی قرار گرفت.

**یافته‌ها:** نتایج این مطالعه نشان داد که ژن *Alpha-cardiac actin* در EB ۱۰ روزه، بیشترین بیان را داشته است. همچنین بررسی‌های این تحقیق مشخص کرد که بیان ژن *FLK1* (Vegfr-2/KDR) در EB ۱۰ و ۱۴ روزه، افزایش یافته است.

**نتیجه گیری:** سلول‌های بنیادی جنینی انسانی ابزاری مفید جهت بررسی جنین زایی به طور کلی و تکامل سیستم قلبی-عروقی به طور خاص هستند.

**کلمات کلیدی:** کاردیومیوست‌ها، اجسام جنینی، بیان ژن، سلول‌های بنیادی جنینی

و ظرفیت تشکیل بافت‌های مختلف را دارند<sup>(۴)</sup>. سلول‌های ES موشی، مدلی را جهت بررسی مراحل اولیه تکامل قلب به وجود آورده اند<sup>(۵)</sup>،<sup>(۶)</sup> و مطالعات اخیر این مطلب را در مورد سلول‌های ES‌های انسانی نیز نشان داده اند<sup>(۷)</sup>،<sup>(۸)</sup>،<sup>(۹)</sup>،<sup>(۱۰)</sup>،<sup>(۱۱)</sup>،<sup>(۱۲)</sup>،<sup>(۱۳)</sup>،<sup>(۱۴)</sup>،<sup>(۱۵)</sup>،<sup>(۱۶)</sup>،<sup>(۱۷)</sup>،<sup>(۱۸)</sup>،<sup>(۱۹)</sup>،<sup>(۲۰)</sup>،<sup>(۲۱)</sup>. برداشت سلول‌های متمايز نشده از لایه مغذی و کشت آن‌ها در سوسپانسیون باعث تشکیل اجسامی جنین مانند می‌شوند که اجسام جنینی (EB) نامیده می‌شوند<sup>(۲۲)</sup> و ممکن است به طور خود به خودی به سلول‌هایی با

### مقدمه

در طی جنین زایی، اولین سیستمی که تشکیل می‌گردد سیستم قلبی-عروقی است که این فرایند بوسیله میانکنش با سلول‌های هایپوبلاستیک اندودرم اولیه آغاز می‌گردد<sup>(۹)</sup>. سلول‌های بنیادی جنینی (ES) جدا شده از توده سلولی داخلی<sup>(۱۰)</sup> بلاستوسیست‌ها، می‌توانند به عنوان لایه سلولی زایی مدام مورد استفاده قرار بگیرند<sup>(۴)</sup>،<sup>(۲۰)</sup>. سلول‌های ES قابلیت ساخته شدن مجدد خود را به مدت طولانی حفظ می‌کنند

1- Human embryonic stem cell

2- Embryoid bodies

3-Human embryoid bodies

4- Reverse transcriptase-polymerase chain reaction

5- Inner cell mass

آدرس نویسنده مسئول: گروه زیست شناسی، دانشگاه آزاد اسلامی واحد تهران شرق، تهران، ایران

Email: pardis\_tab@yahoo.com

تاریخ دریافت مقاله: ۹۱/۰۲/۰۶

تاریخ پذیرش: ۹۱/۰۴/۳۱

امکان پذیر نیست. بنابر این در سال های گذشته بسیاری از تلاش ها در جهت ایجاد راه کارهای تمایز کاردیومیوسمیت های اولیه از سلول های بنیادی جنینی و انتخاب رده سلولی، متمنکر شده است. با توجه به اهمیت استفاده از سلول های بنیادی در درمان بیماری هایی مانند نارسائی های قلبی که درمان آن ها نا ممکن و یا بسیار مشکل می باشد، کاربرد این سلول ها می تواند کمک شایانی به دورنمای درمان این بیماری ها کند. این مطالعه یک مدل آزمایشگاهی (*in vitro*) جهت بررسی و مطالعه زمان بیان ژن های قلبی *FLK1* (Vegfr-2/KDR) و *Alpha-cardiac actin* قلب است. این دو ژن به عنوان مارکرهای سلولی برای سلول های اندوتیال سیستم عروقی و پیش سازهای آن انتخاب شده است.

## مواد و روش ها

### کشت سلول

سلول های بنیادی شمارش و درصد حیات آن ها به روش *tripan blue exclusion* مشخص شد. سپس در محیط کشت DMEM حاوی ۲۰٪ FBS کشت داده شده و تکثیر یافتند. اجسام جنینی در سوسپانسیون، به مدت یک هفته رشد داده شدند و سپس به پلیت های ۲۴ خانه پوشیده شده با ژلاتین منتقل شدند، به طوری که هر جسم جنینی در یک خانه قرار گرفت. هر جسم جنینی به طور متوسط دارای ۱۰۰۰ سلول بود.

### تعیین نواحی ضربان دار

تعیین نواحی ضربان دار خودبخودی (EB)، توسط مشاهدات میکروسکوپی روزانه انجام شد.

### mRNA استخراج

جهت استخراج mRNA<sup>۱</sup> کاردیومیوسمیت های اولیه در اجسام جنینی رشد یافته در سوسپانسیون در زمان های مختلف (۲، ۴، ۷، ۱۰، ۸، ۱۰ و ۱۴ روز پس از تمایز) انتخاب شدند، استخراج mRNA با استفاده از کیت استخراج mRNA (Invitrogen, California, USA) انجام گرفت.

### ساخت cDNA از روی mRNA استخراج شده

ویژگی های کاردیومیوسمیتی متمایز شوند. این سلول ها زمانی که در پلیت کشت قرار می گیرند، ممکن است به طور خود به خودی نواحی ضربان دار ایجاد کنند (۷، ۱۲، ۲۱) که این نواحی دارای سلول هایی هستند که ویژگی های ساختاری و عملکردی مراحل ابتدایی کاردیومیوسمیت ها را دارند (۱۲). تمایز بیشتر کاردیومیوسمیت ها از سلول های hES ممکن است از طریق کاهش حجم EB کشت شده (۲۱) یا بوسیله تیمار سلول ها با ترکیب ۵-آزا-دوکسی سایتیدین بوجود آید (۲۱). به علاوه، تمایز کاردیومیوسمیت های مشتق شده از سلول های hES با طریق کشت همزمان با سلول های اندودرم نیز امکان پذیر است (۱۵). چنین سیستم کشت همزمانی نیازی به تشکیل EB جهت تولید کاردیومیوسمیت ها ندارد. بیان ژن قلبی در EB تمایز یافته با استفاده از سلول های ES موشی به طور گسترده مورد مطالعه قرار گرفته است. کاردیومیوسمیت های مشتق شده از سلول های ES mRNA، ژن های اختصاصی قلب را به صورت یک فرایند تکاملی کنترل شده بیان می کنند. اطلاعات کمی در مورد ژن ها و پیام های مولکولی دخیل در تکامل قلب جنینی انسانی موجود است (۱۷). عدم توانایی قلب در پمپ کافی خون جهت حفظ عملکردهای فیزیولوژیکی باعث ایجاد نارسایی قلبی که یکی از معمول ترین بیماری های قلبی-عروقی در جهان است، می گردد. بیماری قلبی بوسیله کاهش عملکرد کاردیومیوسمیت ها به وجود آمده که باعث نارسایی قلبی می گردد. از آنجا که کاردیومیوسمیت های بالغ قابلیت بازتولید ندارند، تنها درمان موثر بیمارانی که دچار نارسایی قلبی شدید هستند پیوند عضو است. مطالعات حیوانی در دهه گذشته باعث به وجود آمدن شواهد زیادی در رابطه با پیوند کاردیومیوپلاستی<sup>۲</sup> شده یا به عبارت دیگر کاردیومیوپلاستی<sup>۱</sup> گردید که می تواند یک راه کار جایگزین برای درمان نارسایی شدید قلبی باشد. اگر چه بسیاری از مطالعات حیوانی پیوند موفق میوسمیت های قلبی به قلب بالغ را نشان می دهند (۳، ۱۳، ۱۴، ۱۹)، فاکتور محدود کننده درمان بیماری های قلبی-عروقی، تعداد ناکافی سلول های منتقل شونده است. به علت وجود مسائل اخلاقی، درمان نارسایی قلبی در انسان ها بوسیله کاردیومیوپلاستی

1- Cardiomyoplasty

2- RNA Extraction

نمونه ها به روی ژل آگارز ۲٪ برده شدند و نتیجه مورد بررسی قرار گرفت. روش ارزیابی در این مطالعه به صورت نیمه کمی بود به این ترتیب که عکس های حاصل از این ژل ها پس از اسکن در کامپیوتر با نرم افزار Lab works مورد ارزیابی قرار داده و بر اساس شدت باند حاصل از ژن ها عدد نسبی بدست آمد.

### یافته ها

مشاهده وزانه وجود ضربان در اجسام جنینی نشان داد که یک روز پس از کشت، ۴٪ از آن ها دارای ضربان خود به خودی بودند. بیشتر اجسام جنینی پس از گذشت ۱۷ روز ضربان دار شدند. ضربان در برخی از اجسام جنینی از روز ۲۸ آغاز گردید. نواحی ضرباندار در ۵۰-۵۵٪ از اجسام جنینی مشاهده گردید. درصد نواحی ضرباندار در اجسام جنینی مشتق شده از سلول های بنیادی جنینی انسانی که پس از ذوب شدن بیشتر از ۱۰ بار پاساز داده شده بودند نسبت به حدود ۱۰٪ در چند پاساز اولیه افزایش نشان داد. نواحی ضرباندار حدود ۱۱-۱۰ mm قطر داشته و در حاشیه ها قرار گرفته بودند. نواحی ضرباندار در محیط کشت به شدت تا ۴ ماه و به میزان  $100 \pm 10$  ضربان در دقیقه ادامه یافت اما این نواحی رشد بیشتری نداشتند. گاهی اوقات رشد بیش از حد سلول های دیگر که از جسم جنینی متمایز شده اند با ضربان این نواحی تداخل می کنند. به دلیل ایجاد شدن توانایی در تشخیص نواحی ضرباندار با گذشت زمان، این نواحی به طور مکانیکی هر ۱۴-۷ روز جداسازی شده و دوباره در پلیت ها قرار داده شدند. بیان مارکر *Alpha-cardiac actin* و *FLK1 (Vegfr-2/KDR)* در کاردیومیوسمیت های اولیه در اجسام جنینی رشد یافته در سوسپانسیون در زمان های مختلف (۲، ۴، ۸، ۱۰ و ۱۴ روز پس از تمایز) مورد بررسی قرار گرفت. تعداد ۱۰ جسم جنینی در سوسپانسیون در زمان های مختلف (۱، ۶، ۱۰، ۱۵ و ۲۰) جمع آوری گردید. به طور کلی نتایج ما نشان داد که *FLK1 (Vegfr-2/KDR)* مارکری است که در EB،

تولید cDNA با توجه به نحوه دستوالعمل کیت (Invitrogen, California, USA) با استفاده از پرایمرهای ال‌گو-dT انجام شد. ابتدا با توجه به میزان جذب mRNA از هر نمونه، مقداری از mRNA برداشته می شود که حاوی ۱ میکروگرم از mRNA باشد. این حجم به یک میکروتیوب ۰/۲ میلی لیتری انتقال داده شد و سپس با آب مقطر به حجم ۱۰ میکرولیتر رسید. سپس میکروتیوب حاوی mRNA در دستگاه ترموسایکلر به مدت ۲/۵ دقیقه در حرارت ۹۰°C قرار گرفت. این کار باعث می شود تا پیج خورده های mRNA باز شود. پس از گذشت این زمان میکروتیوب بلا فاصله در ظرف یخ قرار گرفت تا دوباره حالت پیج خورده گی در mRNA برقرار نشود.

### RT-PCR

بیان ژن *Alpha-cardiac actin* و *FLK1 (Vegfr-2/KDR)* همچنین ژن گلیسرآلدئید-۳-فسفات دهیدروزناز (GAPDH) ارزیابی گردید. نحوه انجام PCR با توجه به مطالعات قبلی در این مطالعه صورت گرفت (۶). پرایمرهای از شرکت تکاپو زیست، تهییه شد و غلظت های مورد استفاده در این مطالعه عبارت بودند از:

(10 pmol/ $\mu$ l) *Alpha-cardiac actin*

Forward (5'-3'): GCCTTCCTCATTAAAGCTC

Reverse (5'-3'): AACACCACTGCTCTAGCCACG

(10 pmol/ $\mu$ l) *FLK1 (Vegfr-2/KD)*

Forward (5'-3'): GGAATACCCCTTGAGTCC

Reverse (5'-3'): CCTCCAAGTCCAATACC

GAPDH (10 pmol/ $\mu$ l)

Forward (5'-3'): CATGACCACAGTCATGCCATCACT

Reverse (5'-3'): TGAGGTCCACCACCCCTGTTGCTGTA

PCR (10 x)، MgCl<sub>2</sub> (25 mM)، dNTP (10 mM)، بافر

آنژیم (5 U/ $\mu$ l)، Taq polymerase (Roche, Germany)

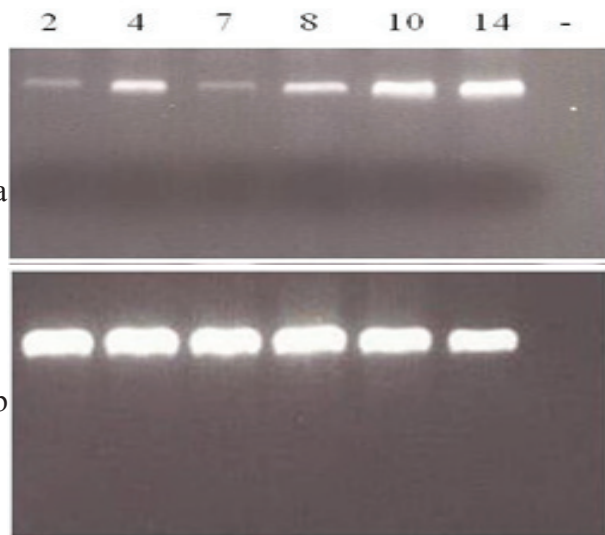
انجام شد: (a): ۹۵°C به مدت ۱۲ دقیقه (۱ چرخه)، (b): ۹۵°C به مدت ۱۵ دقیقه و (c): ۶۰°C به مدت ۱ دقیقه (۴ چرخه).

همه نمونه ها با GAPDH مقایسه گردیدند. پس از انجام PCR

### نتیجه گیری

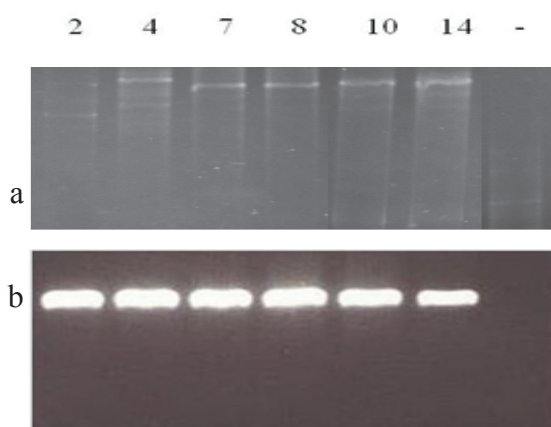
درصد نواحی ضرباندار در اجسام جنینی مشتق شده از سلول های بنیادی جنینی انسانی که پس از ذوب شدن بیشتر از ۱۰ بار پاساژ داده شده بودند نسبت به حدود ۱۰٪ در چند پاساژ اولیه افزایش نشان داد. از آنجا که سلول های بنیادی جنینی انسانی نسبت به ترکیبات محیط کشت حساس بوده و نسبتاً قدرت زیست خود را پس از انجماد از دست می دهنده، آغاز دیر هنگام ضربان احتمالاً به علت بازیابی آهسته ویژگی های فیزیولوژیکی سلول ها پس از ذوب شدن می باشد. *FLK1* و *Vegfr-2/KDR* (به عنوان یک مارکر سلولی برای سلول های اندوتلیال سیستم عروقی و پیش ساز آن ها مورد استفاده قرار می گیرد. بیان این ژن نقش مهمی در نمو عروقی جنین های موش بازی می کند. (*FLK1* و *Vegfr-2/KDR*) در سلول های hES تمایز نیافته بیان می شود و خیلی آهسته در طی تمایز، افزایش پیدا می کند. این ژن افزایش بیان را در روز ۱۰ و ۱۴ نشان داد. نتایج سایر محققین نشان می دهد که ژن *FLK1* در روز ۱، ۲۵ درصد، در روز ۷، ۲۱ در روز ۱۰۰، ۲۱ درصد افزایش بیان داشته است (۲۱) که به نتایج ما نزدیک است. نتایج نشان داد که *Alpha-cardiac actin* با گذشت زمان در EB تمایز یافته، افزایش پیدا می کند. این افزایش بیشتر در روزهای ۲۰-۲۵ مشاهده گردید. نتایج سایر محققین هم این مساله را تائید کرد. در بیشتر مطالعات، *Alpha-cardiac actin* در روز ۱۰ افزایش بیان داشته است و به عنوان یک مارکر زود هنگام و مفید برای کاردیومیوست ها شناخته می شود (۶). مطالعات نشان می دهنده که همانطور که کاردیومیوست ها در این مرحله تمایز، تکثیر پیدا می کنند، *Alpha-cardiac actin* هم تکثیر شده و این تکثیر احتمالاً ناشی از افزایش در سلول های عضله قلبی در EB بوده است (۱۹). در مجموع، دسترسی به رده های سلولی hES دریچه ای نو رو به امکان پذیر شدن مطالعه تکامل قلب انسانی و بیان ژن های جدید در طی تکامل جنینی گشوده است (۱۸، ۲۰). به طور خاص، تحقیقات در این رابطه باعث بیشتر شدن انگیزه بررسی پتانسیل سلول های hES جهت تولید بافت های قلبی جدید با

۱۰ و ۱۴ روزه، بیشترین افزایش بیان را نشان می دهد (شکل ۱)



شکل ۱- بیان ژن (*Vegfr-2/KDR*) (a) و *FLK1* (b) در روزهای ۲، ۴، ۷، ۸، ۱۰، ۱۴ و کنترل (GAPDH) (b)

بیان اولیه *Alpha-cardiac actin* در اجسام جنینی ۲ روزه مشاهده گردید که به شدت در روز ۱۰ افزایش یافت. تعداد ۱۰ جسم جنینی در سوسپانسیون در زمان های مختلف (۱، ۶، ۱۰، ۱۵ و ۲۰) جمع آوری گردید. به طور کلی نتایج ما نشان داد که، *Alpha-cardiac actin* مارکری است که در EB ۱۰ روزه، بیشترین افزایش بیان را نشان می دهد (شکل ۲).



شکل ۲- بیان ژن (a) و *Alpha-cardiac actin* (b) در روزهای ۲، ۴، ۷، ۸، ۱۰، ۱۴ و کنترل (GAPDH) (b)

اهداف درمانی گردیده است. این سلول ها می توانند به روشن شدن فرایندهای پیچیده دخیل در تکامل قلب انسان و ایجاد یک سیستم سلولی مناسب جهت مطالعه تکامل و تمایز بافت ها در شرایط آزمایشگاهی (*in vitro*) کمک کرده و ممکن است سرانجام باعث ایجاد قابلیت تولید سلول های انسانی تمایز یافته با اهداف درمانی گردد. با توجه به اهمیت استفاده از سلول های بنیادی در درمان بیماری هایی مانند نارسائی های قلبی که درمان آن ها ناممکن و یا بسیار مشکل می باشد، کاربرد این سلول های تواند کمک شایانی به دور نمای درمان این بیماری ها کند.

### تشکر و قدردانی

نویسندها از دانشگاه آزاد اسلامی، واحد تهران شرق جهت حمایت مالی از این پژوهه تقدیر و تشکر می نمایند.

## منابع

- (1) Antin PB, Taylor RG, Yatskievych T. Precardiac Mesoderm is Specified During Gastrulation in Quail. *Dev Dyn*, 1994; 2:4-14.
- (2) Boheler KR, Czyz J, Tweedie D, Yang HT, Anisimov SV, Wobus AM. Differentiation of Pluripotent Embryonic Stem Cells into Cardiomyocytes. *Circ Res*, 2002; 91:189-201.
- (3) Delcarpio JB, Claycomb WC. Cardiomyocyte Transfer into the Mammalian Heart. Cell-to-cell Interactions *in vivo* and *in vitro*. *Ann N Y Acad Sci*, 2008; 752:267-85.
- (4) Evans MJ, Kaufman MH. Establishment in Culture of Pluripotential Cells from Mouse Embryos. *Nature*, 1981, 292:154-6.
- (5) Grepin C, Nemer G, Nemer M. Enhanced Cardiogenesis in Embryonic Stem Cells Overexpressing the GATA-4 Transcription factor. *Development*, 1997; 124:2387-95.
- (6) Hanna Segev, Dorit Kenyagin-Karsenti,<sup>1,2</sup>, Bettina Fishman,<sup>1,2</sup>, Sharon Gerecht-Nir,<sup>1,3</sup> Anna Ziskind,<sup>1,2</sup> Michal Amit,<sup>1,2</sup> Raymond Coleman<sup>2</sup> and Joseph Itskovitz-Eldor. Molecular Analysis of Cardiomyocytes Derived from Human Embryonic Stem cells. *Develop. Growth Differ*, 2005; 47:295-306.
- (7) He JQ, Ma Y, Lee Y, Thomson JA, Kamp TJ. Human Embryonic Stem Cells Develop into Multiple Types of Cardiac Myocytes: Action Potential Characterization. *Circulation*, 2003; 93:9-3.
- (8) Hescheler J, Fleischmann BK, Lentini S, Maltsev VA, Rohwedel J, Wobus AM, et al. Embryonic Stem Cells: a Model to Study Structural and Functional Properties in Cardiomyogenesis. *Cardiovasc Res*, 1997; 36:149-62.
- (9) Icardo JM. Developmental Biology of the Vertebrate Heart. *J Exp Zool*, 1996; 275:144-61.
- (10) Itskovitz-Eldor J, Schuldiner M, Karsenti D, Eden A, Yanuka O, Amit M, et al. Differentiation of Human Embryonic Stem Cells into Embryoid Bodies Compromising the three Embryonic Germ Layers. *Mol Med*, 2000; 6:88-95.
- (11) Kehat I, Gepstein A, Spira A, Itskovitz-Eldor J, Gepstein L. High-resolution Electrophysiological Assessment of Human Embryonic Stem Cell-Derived Cardiomyocytes: a Novel in Vitro Model for the Study of conduction. *Circ Res*, 2002; 91:659-6.
- (12) Kehat I, Kenyagin-Karsenti D, Snir M, Segev H, Amit M, Gepstein A, et al. Human Embryonic Stem Cells Can Differentiate into Myocytes with Structural and FunctionalProperties of Cardiomyocytes. *J Clin Invest*, 2001; 108:407-14.
- (13) Koh GY, Soonpaa MH, Klug MG, Field LJ. Long-Term Survival of AT-1 Cardiomyocyte Grafts in Syngeneic Myocardium. *Am J Physiol*, 1993; 264:1727-33.
- (14) Koh GY, Soonpaa MH, Klug MG, Pride HP, Cooper BJ, Zipes DP, et al. Stable Fetal Cardiomyocyte Grafts in the Hearts of Dystrophic Mice and Dogs. *J Clin Invest*, 1995; 96:2034-42.
- (15) Mummery C, Ward-van Oostwaard D, Doevedans P, Spijker R, van den Brink S, Hassink R, et al. Differentiation of Human Embryonic Stem Cells to Cardiomyocytes: Role of Coculture with Visceral Endoderm-Like Cells. *Circulatin*, 2003; 33:27-40.
- (16) Narita N, Bielinska M, Wilson DB. Cardiomyocyte Differentiation by GATA-4-Deficient Embryonic stem Cells. *Development*, 1997; 124:3755-64.
- (17) Olson EN, Srivastava D. Molecular Pathways Controlling Heart Development. *Science*, 1996; 272:671-6.
- (18) Reubinoff BE, Pera MF, Fong CY, Trounson A, Bongso A. Embryonic Stem Cell Lines from Human Blastocysts: Somatic differentiation in Vitro. *Nat Biotechnol*, 2000; 18:399-404.
- (19) Roell W, Lu ZJ, Bloch W, Siedner S, Tiemann K, Xia Y, et al. Cellular Cardiomyoplasty Improves Survival After Myocardial Injury. *Circulation*, 2002; 105:2435-41.
- (20) Thomson JA, Itskovitz-Eldor J, Shapiro SS, Waknitz MA, Swiergiel JJ, Marshall VS, et al. Embryonic Stem Cell lines Derived from Human Blastocysts. *Science*, 1998; 282:1145-7.
- (21) Xu C, Police S, Rao N, Carpenter MK. Characterization and enrichment of Cardiomyocytes Derived from Human Embryonic Stem Cells. *Circ Res*, 2002; 91:501-8.